

Т. Л. МАРТИНОВИЧ

ЗГИН ІЗОТРОПНОЇ ПЛАСТИНКИ З ТРИКУТНИМ ОТВОРОМ, ПІДКРІПЛЕНИМ ПРУЖНИМ КІЛЬЦЕМ

Розглянемо безконечну ізотропну пластинку, ослаблену трикутним отвором, край якого підкріплений тонким пружним кільцем з нерівними жорсткостями на згин і кручення.

Для простоти обчислень, не порушуючи загальності методу розв'язування, будемо рахувати, що пластинка і кільце вільні від дії зовнішніх зусиль, а зусилля на безконечності обмежені, $P_z=0$. Початок координат виберемо в центрі трикутного отвору, вісь ox направимо вздовж бісектриси кута.

Функцію $\omega(\zeta)$ візьмемо у вигляді [4]

$$\omega(\zeta) = R \left(\zeta + \frac{m}{\zeta^2} \right), \quad (1)$$

яка при $m = \frac{1}{3}$ відображає зовнішність трикутного отвору із закругленими кутами на зовнішність одиничного кола, вважаючи при цьому, що пластинка спаяна з кільцем вздовж вісі кільця. Радіус закруглення кутів криволінійного трикутного отвору буде $r = \frac{1}{21}R$, де $R = \frac{3}{2}H$; H — висота трикутного отвору.

Функції $\varphi(\zeta)$ і $\psi(\zeta)$, що характеризують напружений стан пластинки в перетвореній області, матимуть слідуючий вигляд:

$$\begin{aligned} \varphi(\zeta) &= -\frac{AR}{4D(1+\nu)} \zeta + \varphi_0(\zeta); \\ \psi(\zeta) &= \frac{BR}{2D(1-\nu)} \zeta + \psi_0(\zeta), \end{aligned} \quad (2)$$

де ν — коефіцієнт Пуассона; $D = \frac{Eh^3}{12(1-\nu^2)}$ — циліндрична жорсткість пластинки;

$$\varphi_0(\zeta) = \sum_{n=0}^{\infty} a_n \zeta^{-n}; \quad \psi_0(\zeta) = \sum_{n=1}^{\infty} b_n \zeta^{-n} \quad (3)$$

Значення постійних A і B приведені в слідуючій таблиці:

	$A = M_{x\infty} + M_{y\infty}$	$B = M_{y\infty} - M_{x\infty}$
$M_{x\infty} = M_{y\infty} = M, H_{xy\infty} = 0$	$2M$	0
$M_{x\infty} = 0$ або $M_{y\infty} = 0, H_{xy\infty} = 0$	M	$\pm M$
$M_{x\infty} = M_{y\infty} = 0, H_{xy\infty} = H$	0	$2iH$

Враховуючи рівності (1) і (2), задача, як показано в роботі [3], зводиться до знаходження функцій $\varphi_0(\zeta)$ і $\psi_0(\zeta)$, голоморфних в області пластинки, із граничних умов

$$\begin{aligned} U'(\sigma) - \kappa_1 R_0 \frac{1}{\sigma} U(\sigma) - \kappa'_1 R_0 \overline{U(\sigma)} \frac{1 - 2m\sigma^3}{\sigma^3 - 2m} &= \kappa_1 (|\omega'(\sigma)| - R_0) \frac{1}{\sigma} U(\sigma) + \\ + \kappa'_1 (|\omega'(\sigma)| - R_0) \overline{U(\sigma)} \frac{1 - 2m\sigma^3}{\sigma^3 - 2m} + (1 - \alpha) \varphi'_0(\sigma) \frac{1}{\sigma^2} + \frac{AR(\alpha-1)}{4D(1+\nu)} \frac{1}{\sigma^2}; \end{aligned} \quad (4)$$

$$\begin{aligned} \alpha \overline{\varphi_0(\sigma)} + \frac{\sigma^3(1+m\sigma^3)}{\sigma^3 - 2m} \varphi'_0(\sigma) + \psi_0(\sigma) &= U(\sigma) + \frac{AR\alpha}{4D(1+\nu)} \frac{1}{\sigma} + \\ + \frac{AR}{4D(1+\nu)} \frac{\sigma^2(1+m\sigma^3)}{\sigma^3 - 2m} - \frac{BR}{2D(1-\nu)} \sigma, \end{aligned} \quad (5)$$

де

$$\alpha = -\frac{3+\nu}{1-\nu}; \quad \kappa_1 = \frac{(\alpha+1)(1-\nu)D}{2C}, \quad \kappa'_1 = \frac{(\alpha-1)(1-\nu)D}{2C}; \quad C = \alpha A;$$

A — жорсткість кільця на згин, C — жорсткість кільця на крученні.

Функцію $U(\sigma)$, яка входить в контурні умови (4) і (5), будемо визначати методом послідовних наближень.

Поклавши $|\omega'(\sigma)| = R_0$, одержимо рівність для визначення нульового наближення

$$\begin{aligned} U^{(0)\prime}(\sigma) - \frac{\kappa_1 R_0}{\sigma} U^{(0)}(\sigma) - \kappa'_1 R_0 \overline{U^{(0)}(\sigma)} \frac{1 - 2m\sigma^3}{\sigma^3 - 2m} &= (1 - \alpha) \overline{\varphi'_0(\sigma)} \frac{1}{\sigma^2} + \\ + \frac{AR(\alpha-1)}{4D(1+\nu)} \frac{1}{\sigma^2}. \end{aligned} \quad (6)$$

Із рівності (5) випливає, що функцію $U(\sigma)$ можна подати у вигляді

$$U(\sigma) = U_1(\sigma) + U_2(\sigma), \quad (7)$$

де

$$U_1(\sigma) = \sum_{n=0}^{\infty} \alpha_n \sigma^n; \quad U_2(\sigma) = \sum_{n=1}^{\infty} \beta_n \sigma^{-n}.$$

Далі скористуємося прийомом, запропонованим М. П. Шереметевим при розгляді пружної рівноваги еліптичного кільця (плоска задача) [2].

Помножимо рівність (6) на $\frac{1}{2\pi i} \cdot \frac{d\sigma}{\sigma - \zeta}$ і проінтегруємо її по γ при $|\zeta| < 1$ і $|\zeta| > 1$. В результаті інтегрування одержимо

$$\begin{aligned} U_1^{(0)\prime}(\zeta) - \frac{\kappa_1 R_0}{\zeta} U_1^{(0)}(\zeta) - \kappa'_1 R_0 \bar{U}_2^{(0)}\left(\frac{1}{\zeta}\right) \frac{1 - 2m\zeta^3}{\zeta^3 - 2m} + \kappa_1 R_0 \alpha_0^{(0)} \frac{1}{\zeta} + \\ + 2m R_0 \kappa'_1 \alpha_0^{(0)} = (1 - \kappa) \varphi'_0\left(\frac{1}{\zeta}\right) \frac{1}{\zeta^2} - \frac{\kappa'_1 R_0 (1 - 4m^2) S_1}{3\sqrt[3]{4m^2}} \frac{\zeta^2}{\zeta^3 - 2m} - \\ - \frac{\kappa'_1 R_0 (1 - 4m^2) S_2}{3\sqrt[3]{2m}} \frac{\zeta}{\zeta^3 - 2m} - \frac{\kappa'_1 R_0 (1 - 4m^2) S_3}{3} \frac{1}{\zeta^3 - 2m} \quad (|\zeta| < 1); \end{aligned} \quad (8)$$

$$\begin{aligned} U_2^{(0)\prime}(\zeta) - \frac{\kappa_1 R_0}{\zeta} U_2^{(0)}(\zeta) - \kappa'_1 R_0 \bar{U}_1^{(0)}\left(\frac{1}{\zeta}\right) \frac{1 - 2m\zeta^3}{\zeta^3 - 2m} - \kappa_1 R_0 \alpha_0^{(0)} \frac{1}{\zeta} - \\ - 2m \kappa'_1 R_0 \bar{\alpha}_0^{(0)} = \frac{AR(\kappa - 1)}{4D(1 + \nu)} \frac{1}{\zeta^2} + \frac{\kappa'_1 R_0 (1 - 4m^2) S_1}{3\sqrt[3]{4m^2}} \frac{\zeta^2}{\zeta^3 - 2m} + \\ + \frac{\kappa'_1 R_0 (1 - 4m^2) S_3}{3\sqrt[3]{2m}} \frac{\zeta}{\zeta^3 - 2m} + \frac{\kappa'_1 R_0 (1 - 4m^2) S_2}{3} \frac{1}{\zeta^3 - 2m} \quad (|\zeta| > 1). \end{aligned} \quad (9)$$

Тут позначено

$$\begin{aligned} S_1 &= \bar{U}_2\left(\frac{1}{\sigma_1}\right) - \frac{(1 - i\sqrt{3})}{2} \bar{U}_2\left(\frac{1}{\sigma_2}\right) - \frac{(1 + i\sqrt{3})}{2} \bar{U}_2\left(\frac{1}{\sigma_3}\right); \\ S_2 &= \bar{U}_2\left(\frac{1}{\sigma_1}\right) - \frac{(1 + i\sqrt{3})}{2} \bar{U}_2\left(\frac{1}{\sigma_2}\right) - \frac{(1 - i\sqrt{3})}{2} \bar{U}_2\left(\frac{1}{\sigma_3}\right); \\ S &= \bar{U}_2\left(\frac{1}{\sigma_1}\right) + \bar{U}_2\left(\frac{1}{\sigma_2}\right) + \bar{U}_2\left(\frac{1}{\sigma_3}\right), \end{aligned} \quad (10)$$

де

$$\sigma_1 = \sqrt[3]{2m}, \quad \sigma_2 = -\frac{\sqrt[3]{2m}}{2} (1 - i\sqrt{3}), \quad \sigma_3 = -\frac{\sqrt[3]{2m}}{2} (1 + i\sqrt{3}).$$

Із властивостей інтегралів типу Коші випливає, що рівність (8) представляє функцію змінної ζ , регулярну в середині γ , а рівність (9) — регулярну зовні γ , включаючи і безконечно віддалену точку.

Розкладаючи в ряд вирази, які входять в рівність (8), по додатним степеням ζ , а вирази, які входять в рівність (9), по від'ємним степеням ζ , враховуючи при цьому (3) і (4), матимемо

$$\begin{aligned} \sum_{n=0}^{\infty} (n + 1 - R_0 \kappa_1) \alpha_{n+1}^{(0)} \zeta^n - \kappa'_1 R_0 (4m^2 - 1) \sum_{n=4}^{\infty} \left\{ \sum_{\kappa=3,6,\dots}^{n-1} (2m)^{-\frac{\kappa+3}{3}} \bar{\beta}_{n-\kappa}^{(0)} \right\} \zeta^n + \\ + \frac{\kappa'_1 R_0}{2m} \sum_{n=1}^{\infty} \bar{\beta}_n^{(0)} \zeta^n + 2m \kappa'_1 R_0 \bar{\alpha}_0^{(0)} = (\kappa - 1) \sum_{n=0}^{\infty} (n + 1) \bar{\alpha}_{n+1}^{(0)} \zeta^n + \end{aligned}$$

$$\begin{aligned}
& + \frac{\kappa'_1 R_0 (1 - 4m^2) S_1}{3 \sqrt[3]{4m^2}} \sum_{n=2,5,\dots}^{\infty} (2m)^{-\frac{n+1}{3}} \zeta^n + \frac{\kappa'_1 R_0 (1 - 4m^2) S_2}{3 \sqrt[3]{2m}} \sum_{n=1,4,\dots}^{\infty} (2m)^{-\frac{n+2}{3}} \zeta^n + \\
& + \frac{\kappa'_1 R_0 (1 - 4m^2) S_3}{3} \sum_{n=0,3,6,\dots}^{\infty} (2m)^{-\frac{n+3}{3}} \zeta^n; \tag{11}
\end{aligned}$$

$$\begin{aligned}
& \sum_{n=2}^{\infty} (1 - n - \kappa_1 R_0) \beta_{n-1}^{(0)} \zeta^{-n} - \kappa'_1 R_0 (1 - 4m^2) \sum_{n=3}^{\infty} \left\{ \sum_{\kappa=3,6,\dots}^n (2m)^{\frac{\kappa-3}{3}} \bar{a}_{n-\kappa}^{(0)} \right\} \zeta^{-n} + \\
& + 2m \kappa'_1 R_0 \sum_{n=1}^{\infty} \bar{a}_n^{(0)} \zeta^{-n} - \kappa_1 R_0 \bar{a}_0^{(0)} \frac{1}{\zeta} = \frac{AR(\kappa-1)}{4D(1+\nu)} \frac{1}{\zeta^2} + \\
& + \frac{\kappa'_1 R_0 (1 - 4m^2) S_1}{3 \sqrt[3]{4m^2}} \sum_{n=1,4,\dots}^{\infty} (2m)^{\frac{n-1}{3}} \zeta^{-n} + \frac{\kappa'_1 R_0 (1 - 4m^2) S_2}{3 \sqrt[3]{2m}} \sum_{n=2,5,\dots}^{\infty} (2m)^{\frac{n-2}{3}} \zeta^{-n} + \\
& + \frac{\kappa'_1 R_0 (1 - 4m^2) S_3}{3} \sum_{n=3,6,\dots}^{\infty} (2m)^{\frac{n-3}{3}} \zeta^{-n}. \tag{12}
\end{aligned}$$

Прирівнюючи коефіцієнти при одинакових степенях ζ в рівностях (11) і (12), одержимо дві безкінечні системи лінійних алгебраїчних рівнянь трикутного вигляду для визначення коефіцієнтів $\bar{a}_n^{(0)}$ і $\beta_n^{(0)}$

$$\begin{aligned}
(1 - \kappa_1 R_0) \bar{a}_1^{(0)} + 2m \kappa'_1 R_0 \bar{a}_0^{(0)} &= (\kappa-1) \bar{a}_1^{(0)} + \frac{\kappa'_1 R_0 (1 - 4m^2) S_3}{6m}; \\
(2 - \kappa_1 R_0) \bar{a}_2^{(0)} + \frac{\kappa'_1 R_0 \bar{\beta}_1^{(0)}}{2m} &= 2(\kappa-1) \bar{a}_2^{(0)} + \frac{\kappa'_1 R_0 (1 - 4m^2) S_2}{6m \sqrt[3]{2m}}; \\
(3 - \kappa_1 R_0) \bar{a}_3^{(0)} + \frac{\kappa'_1 R_0 \bar{\beta}_2^{(0)}}{2m} &= 3(\kappa-1) \bar{a}_3^{(0)} + \frac{\kappa'_1 R_0 (1 - 4m^2) S_1}{6m \sqrt[3]{4m^2}}; \\
(4 - \kappa_1 R_0) \bar{a}_4^{(0)} + \frac{\kappa'_1 R_0 \bar{\beta}_3^{(0)}}{2m} &= 4(\kappa-1) \bar{a}_4^{(0)} + \frac{\kappa'_1 R_0 (1 - 4m^2) S_3}{12m^2}. \tag{13}
\end{aligned}$$

$$\begin{aligned}
2m \kappa'_1 R_0 \bar{a}_1^{(0)} - \kappa_1 R_0 \bar{a}_0^{(0)} &= \frac{\kappa'_1 R_0 (1 - 4m^2) S_1}{3 \sqrt[3]{4m^2}}; \\
-(1 + \kappa_1 R_0) \beta_1^{(0)} + 2m \kappa'_1 R_0 \bar{a}_2^{(0)} &= \frac{AR(\kappa-1)}{4D(1+\nu)} + \frac{\kappa'_1 R_0 (1 - 4m^2) S_2}{3 \sqrt[3]{2m}}; \\
-(2 + \kappa_1 R_0) \beta_2^{(0)} + 2m \kappa'_1 R_0 \bar{a}_3^{(0)} - \kappa'_1 R_0 (1 - 4m^2) \bar{a}_0^{(0)} + \frac{\kappa'_1 R_0 (1 - 4m^2) S_3}{3} &=; \\
-(3 + \kappa_1 R_0) \beta_3^{(0)} + 2m \kappa'_1 R_0 \bar{a}_4^{(0)} - \kappa'_1 R_0 (1 - 4m^2) \bar{a}_1^{(0)} &= \frac{2\kappa'_1 R_0 (1 - 4m^2) m S_1}{3 \sqrt[3]{4m^2}}. \tag{14}
\end{aligned}$$

Параметри S_1 , S_2 і S_3 , які входять в системи (13) і (14), на основі співвідношень (7) і (10) легко виражаються через коефіцієнти β_n

$$\begin{aligned} S_1 &= \sum_{n=1}^{\infty} \left\{ 1 - (-1)^n \left[\left(\frac{1-i\sqrt{3}}{2} \right)^{n+1} + \left(\frac{1+i\sqrt{3}}{2} \right)^{n+1} \right] \right\} \bar{\beta}_n (2m)^{\frac{n}{3}} ; \\ S_2 &= \sum_{n=1}^{\infty} \left\{ 1 - (-1)^n \left[\left(\frac{1-i\sqrt{3}}{2} \right)^{n-1} + \left(\frac{1+i\sqrt{3}}{2} \right)^{n-1} \right] \right\} \bar{\beta}_n (2m)^{\frac{n}{3}} ; \\ S_3 &= \sum_{n=1}^{\infty} \left\{ 1 + (-1)^n \left[\left(\frac{1-i\sqrt{3}}{2} \right)^n + \left(\frac{1+i\sqrt{3}}{2} \right)^n \right] \right\} \bar{\beta}_n (2m)^{\frac{n}{3}} . \end{aligned} \quad (15)$$

Як видно із систем (13) і (14), всі $\alpha_n^{(0)}$ і $\beta_n^{(0)}$ послідовно визначаються безпосередньо через коефіцієнти $a_n^{(0)}$ функції $\varphi_0(\zeta)$, для визначення яких використаємо умову (5). Для цього помножимо рівність (5) на $\frac{1}{2\pi i} \cdot \frac{d\sigma}{\sigma - \zeta}$ і проінтегруємо по γ при $|\zeta| < 1$ і $|\zeta| > 1$. В результаті інтегрування одержимо

$$\pi \bar{\varphi}_0 \left(\frac{1}{\zeta} \right) - a_1^{(0)} m = U_1^{(0)}(\zeta) + \frac{ARm}{4D(1+\nu)} \zeta^2 - \frac{BR}{2D(1-\nu)} \zeta \quad (16)$$

$$\begin{aligned} \frac{\zeta^2(1+m\zeta^3)}{\zeta^3-2m} \varphi'_0(\zeta) + ma_1^{(0)} + \psi_0(\zeta) &= U_2^{(0)}(\zeta) + \\ + \frac{AR\pi}{4D(1+\nu)} \frac{1}{\zeta} + \frac{AR}{4D(1+\nu)} \frac{\zeta^2(1+m\zeta^3)}{\zeta^3-2m} - \frac{ARm}{4D(1+\nu)} \zeta^2 . \end{aligned} \quad (17)$$

Підставимо в (16) замість $\bar{\varphi}_0 \left(\frac{1}{\zeta} \right)$ і $U_1^{(0)}(\zeta)$ їх вирази із (3) і (7) і прирівняємо коефіцієнти при одинакових степенях ζ , при цьому матимемо

$$\begin{aligned} \pi \bar{a}_0^{(0)} - ma_1^{(0)} &= a_0^{(0)} ; \\ \pi \bar{a}_1^{(0)} &= a_1^{(0)} - \frac{BR}{2D(1-\nu)} ; \\ \pi \bar{a}_2^{(0)} &= a_2^{(0)} + \frac{ARm}{4D(1+\nu)} ; \\ \pi \bar{a}_n^{(0)} &= a_n^{(0)} \quad (n \geq 3) . \end{aligned} \quad (18)$$

Розв'язуючи сумісно системи (13), (14) і (18), знайдемо коефіцієнти $a_n^{(0)}$, $\alpha_n^{(0)}$ і $\beta_n^{(0)}$ розкладу функцій $\varphi_0(\zeta)$ і $U(\zeta)$ в нульовому наближенні; функцію $\psi_0(\zeta)$ знаходимо із рівності (17).

Параметри S_1 , S_2 і S_3 , які ввійдуть у вирази шуканих коефіцієнтів, визначаються із умови (15).

При знаходженні першого і слідуючих наближень для простоти викладок приймемо, що

$$|\omega'(\sigma)| = R \sqrt{1 + 4m^2 - 2m \left(\sigma^3 + \frac{1}{\sigma^3} \right)} \approx R_0 - \lambda \left(\sigma^3 + \frac{1}{\sigma^3} \right) , \quad (19)$$

де

$$R_0 = \frac{R(1+2m+4m^2)}{1+2m}; \quad \lambda = \frac{mR}{1+2m}.$$

Підставляючи рівність (19) і знайдену в нульовому наближенні функцію $U^{(0)}(\sigma)$ в праву частину контурної умови (4), одержимо рівність для визначення функції $U(\sigma)$ в першому наближенні

$$\begin{aligned} U^{(1)}(\sigma) - \kappa_1 R_0 \frac{1}{\sigma} U^{(1)}(\sigma) - \kappa'_1 R_0 \overline{U^{(1)}(\sigma)} \frac{1-2m\sigma^3}{\sigma^3-2m} &= (1-\kappa) \varphi'_0(\sigma) \frac{1}{\sigma^2} + \\ + \frac{AR(\kappa-1)}{4D(1+\nu)} \frac{1}{\sigma^2} - \kappa_1 \lambda \left(\sigma^3 + \frac{1}{\sigma^3} \right) \frac{1}{\sigma} U^{(0)}(\sigma) - \kappa'_1 \lambda \left(\sigma_3 + \frac{1}{\sigma^3} \right) \overline{U^{(0)}(\sigma)} \frac{1-2m\sigma^3}{\sigma^3-2m}. \end{aligned} \quad (20)$$

Далі поступаємо так само як і при знаходженні нульового наближення. В результаті одержимо безконечні системи трикутного вигляду лінійних алгебраїчних рівнянь відносно $\alpha_n^{(1)}$ і $\beta_n^{(1)}$ аналогічні системам (13) і (14), в праві частини яких додатково будуть входити тільки деякі відомі доданки. Розв'язуючи одержані таким способом системи сумісно із системою (18), замінивши в останній відповідно $\alpha_n^{(0)}$ і $\alpha_n^{(0)}$ через $\alpha_n^{(1)}$ і $\alpha_n^{(1)}$, визначимо коефіцієнти розкладу функцій $\varphi_0(\zeta)$ і $U(\zeta)$ в першому наближенні; функцію $\psi_0(\zeta)$ визначимо із рівності (17).

Аналогічно знаходимо слідуючі наближення. Побудований процес послідовних наближень збігається рівномірно.

У випадку рівних жорсткостей кільця на згин і кручення $\kappa'_1=0$ і системи (13) і (14) значно спрощуються і дають можливість одержати функції $\varphi(\zeta)$ і $\psi(\zeta)$ для будь-якого наближення в замкнuttй формі. В нульовому наближенні

$$\begin{aligned} \varphi^{(0)}(\zeta) &= -\frac{AR}{4D(1+\nu)} \zeta + a_1^{(0)} \frac{1}{\zeta} + a_2^{(0)} \frac{1}{\zeta^2}; \\ \psi^{(0)}(\zeta) &= \frac{BR}{2D(1-\nu)} \zeta - \frac{\zeta^2(1+m\zeta^3)}{\zeta^3-2m} \varphi_0^{(0)}(\zeta) + \frac{AR(1+\kappa\nu)}{4D(1+\nu)(1+\kappa)} \frac{1}{\zeta} + \\ + \frac{AR}{4D(1+\nu)} \frac{\zeta^2(1+m\zeta^3)}{\zeta^3-2m} - \frac{ARm}{4D(1+\nu)} \zeta^2 \end{aligned} \quad (21)$$

де

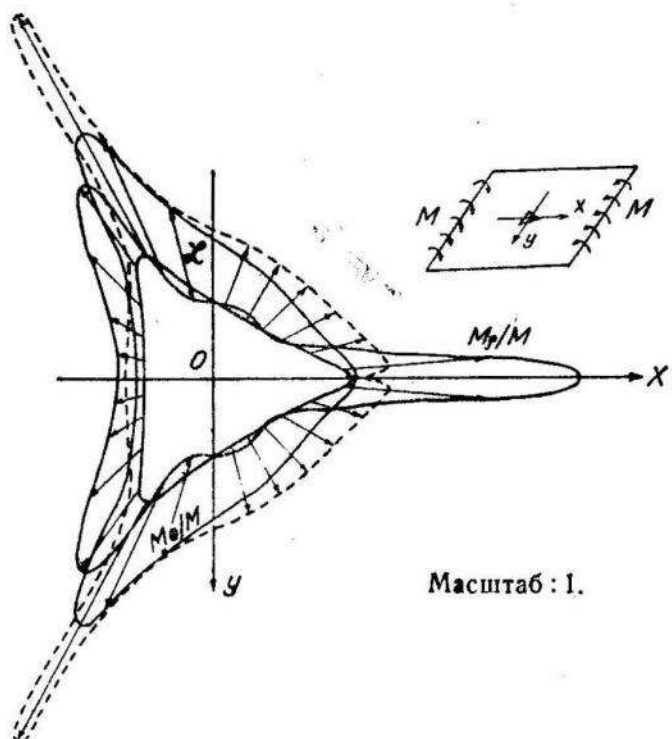
$$\begin{aligned} \varphi_0^{(0)}(\zeta) &= a_1^{(0)} \frac{1}{\zeta} + a_2^{(0)} \frac{1}{\zeta^2}; \quad Q_1^{(0)} = -\frac{\overline{BR}(1-\kappa)}{2D(1-\nu)(1-\kappa\nu)}; \\ a_2^{(0)} &= \frac{ARm(2-\kappa)}{4D(1+\nu)(2-\kappa\nu)}; \quad \kappa = \kappa_1 R_0. \end{aligned}$$

В першому наближенні

$$\varphi^{(1)}(\zeta) = \varphi^{(0)}(\zeta) + \varphi_1(\zeta); \quad \psi^{(1)}(\zeta) = \psi^{(0)}(\zeta) + \psi_1(\zeta), \quad (22)$$

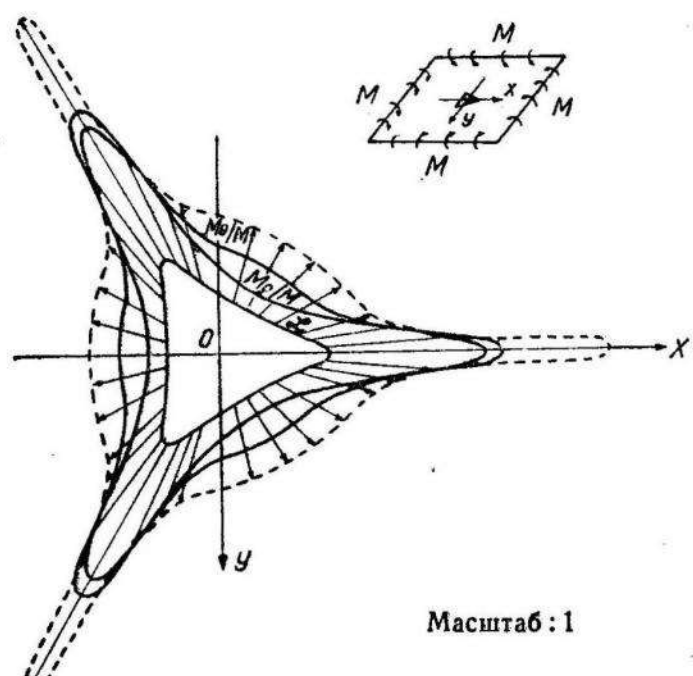
де $\varphi^{(0)}(\zeta)$ і $\psi^{(0)}(\zeta)$ — функції напруження в нульовому наближенні (21), а $\varphi_1(\zeta)$ і $\psi_1(\zeta)$ мають вигляд

$$\varphi_1(\zeta) = -\frac{\kappa\lambda}{R_0} \left[\frac{\beta_1^{(0)}}{2-\kappa\nu} \frac{1}{\zeta^2} + \frac{\alpha_1^{(0)}}{4-\kappa\nu} \frac{1}{\zeta^4} + \frac{\alpha_2^{(0)}}{5-\kappa\nu} \frac{1}{\zeta^5} \right];$$



Масштаб : 1.

Рис. 1.



Масштаб : 1

Рис. 2.

$$\psi_1(\zeta) = -\frac{\zeta^2(1+m\zeta^3)}{\zeta^3-2m}\varphi'_1(\zeta) + \frac{\kappa\lambda}{R_0} \left[\frac{\alpha_2^{(0)}}{1+\kappa\zeta} \frac{1}{\zeta} + \frac{\alpha_1^{(0)}}{2+\kappa\zeta^2} \frac{1}{\zeta^2} + \frac{\beta_1^{(0)}}{4+\kappa\zeta^4} \frac{1}{\zeta^4} \right],$$

де

$$\alpha_1^{(0)} = \frac{\nu-1}{1-\kappa} \bar{a}_1^{(0)}, \quad \alpha_2^{(0)} = \frac{2(\nu-1)}{2-\kappa} a_2^{(0)}; \quad \beta_1^{(0)} = -\frac{AR(\nu-1)}{4D(1+\nu)(1+\kappa)}.$$

По функціям напруження (22) підраховані згидаючі моменти M_p і M_δ при чистому і односторонньому згині.

На рис. 1 приведений графік розподілу згидаючих моментів M_p і M_δ по контуру сплощеної пластинки з кільцем при односторонньому згині при $\nu = \frac{1}{3}$, $m = \frac{1}{3}$ і $\kappa = 1,22$.

На рис. 2 приведений графік розподілу згидаючих моментів M_p і M_δ по контуру сплощеної пластинки з кільцем при чистому згині, при $\nu = \frac{1}{3}$, $m = \frac{1}{3}$ і $\kappa = 0,867$.

Пунктирна лінія на рис. 1 і 2 характеризує розподіл згидаючих моментів M_δ по контуру трикутного отвору в пластинці без підкріплення при тих же даних і взята із монографії Г. М. Савіна [4].

Підрахунки показали, що значення моментів першого наближення відрізняються від відповідних значень моментів другого наближення в точках найбільшої кривизни не більше ніж на 3,93%, що говорить про хорошу збіжність послідовних наближень.

ЛІТЕРАТУРА

1. Шереметьев М. П. Изгиб тонких плит с подкрепленным краем. Укр. мат. журн., № 1, 1953.
2. Шереметьев М. П. Упругое равновесие эллиптического кольца. ПММ, т. XVII, в. I, 1953.
3. Шереметьев М. П. і Мартинович Т. Л. Згин нескінченної пластинки, ослабленої еліптичним отвором, край якого підкріплений тонким пружним кільцем. Прикладна механіка, т. III, в. 2, 1957.
4. Савин Г. Н. Концентрация напряжений около отверстий. Гостехиздат, 1951.